

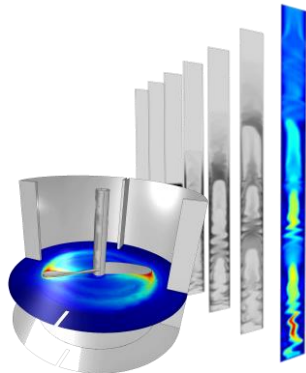


6th OKUCC

압력 기반의 압축성 유동 해석자

2017. 09. 21

(주)네오플렉스 김태우

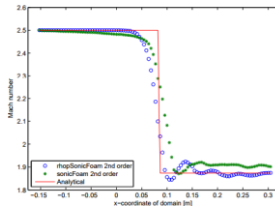
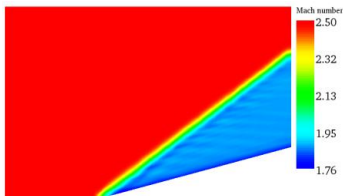


- 연구 필요성
- Pressure Based Segregated Solver
 - 해석자 개발
 - 해석 결과
- Pressure Based Coupled Solver
 - 해석자 개발
 - 해석 결과
- 결론

- **New algorithm for high speed flow for pressure based solver**

- **필요성**

- 충격파나 압축성 효과가 두드러지는 고속 유동 해석에서의 압력 기반 해석자의 불안정성
- 밀도 기반의 segregated solver 의 경우, 높은 정확도에 비해 낮은 CFL 수를 요구하며 기존의 OpenFOAM 라이브러리와 결합이 어려움
- **압력 기반의 고속 유동 해석자 개발 필요**

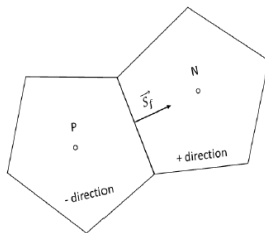


• New algorithm for high speed flow for pressure based solver

▪ pressure based flux splitting central scheme

- 격자 면에서의 flux 계산에 적용
- Kurganov-Tadmor flux splitting scheme
- Low Mach number correction

$$\begin{aligned} \frac{\partial \rho}{\partial t} + \nabla \cdot (\rho \vec{u}) &= 0 \\ \frac{\partial \rho \vec{u}}{\partial t} + \nabla \cdot (\rho \vec{u} \otimes \vec{u}) \\ &= \nabla \cdot \mu \left[(\nabla \vec{u} + (\nabla \vec{u})^T) - \frac{2}{3} (\nabla \cdot \vec{u}) I \right] - \nabla p \\ \frac{\partial \rho h}{\partial t} + \nabla \cdot (\rho \vec{u} h) - \nabla \cdot (\alpha_{eff} \nabla h) &= \frac{\partial p}{\partial t} + \vec{u} \cdot \nabla p \\ \frac{\partial \psi_{pre f}}{\partial t} + \nabla \cdot (\psi_{pre f} \vec{u}) + \frac{\partial \psi_{pd}}{\partial t} + \nabla \cdot (\psi_{pd} \vec{u}) &= 0 \\ \psi_f \phi_f &= \psi_f^P (\alpha_f^P \phi_f^P + \alpha_f^P \alpha_f^{\min}) + \psi_f^N (\alpha_f^N \phi_f^N - \alpha_f^P \alpha_f^{\min}) \end{aligned}$$



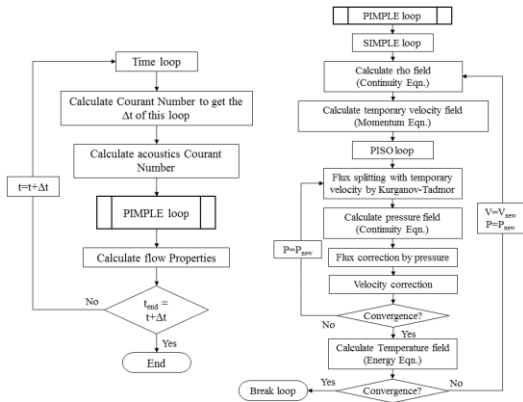
* M.Kraposhin(ISP RAS), S. Strizhak(HP) and A. Bovtrikova(ISP RAS), "Adaptation of Kurganov-Tadmor's numerical scheme for applying in combination with the PISO method in numerical simulation of flows in a wide range of Mach numbers", Procedia Computer Science, Vol. 66, 2015, pp43-52

Pressure Based Segregated Solver

• 해석자 개발

▪ buoyantPCNFoam

- 넥스트폼에서 개선한 simple 알고리즘과 KT-scheme 을 적용하여 개발한 all mach number 해석자
- unsteady/steady 해석 수행 가능
- steady 해석의 경우, local time step을 사용
- 해석 절차는 우측의 절차로 진행

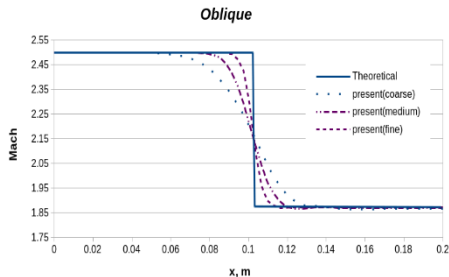
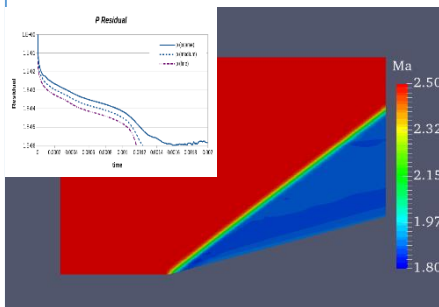


Pressure Based Segregated Solver

해석자 결과

- Oblique shock

Mach	Pressure (psia)	Temperature (R)	Wedge half-angle (°)
2.5	14.7	520	15

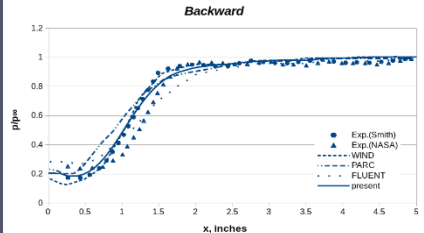
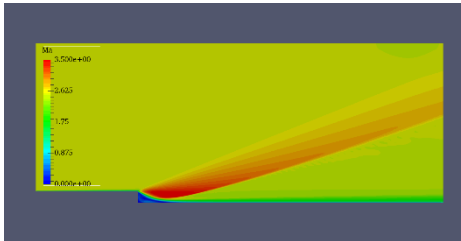


Pressure Based Segregated Solver

• 해석자 결과

■ Backward-facing step

- $M_\infty = 2.5$, $P_\infty = 13316.6$ Pa, $T_\infty = 344$ K
- 48000 cells
- κ - ω SST turbulence model

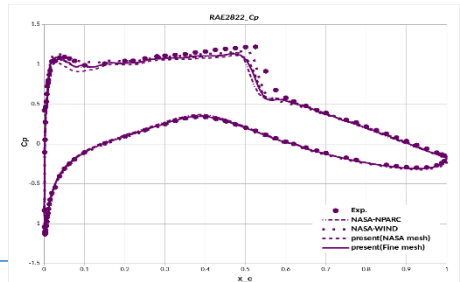
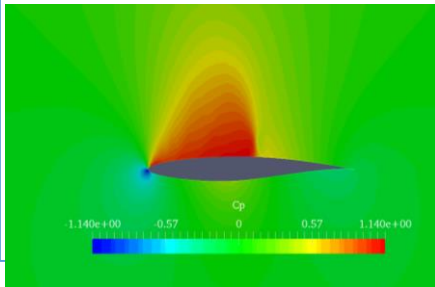
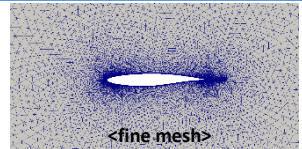


Pressure Based Segregated Solver

• 해석자 결과

▪ RAE 2822 2D Airfoil

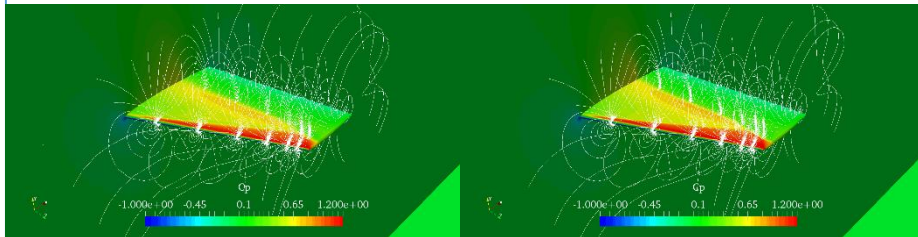
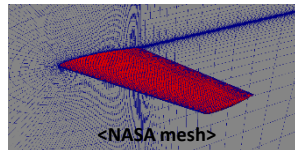
- $M_{\infty} = 0.729$ (NASA NPARC)
- NASA mesh : 23552 cells(plot3D type), Fine mesh : 35892 cells(hybrid type)
- Spalart-Allmaras turbulence model
- Characteristic farfield boundary condition



Pressure Based Segregated Solver

• 해석자 결과

- Onera M6 wing
 - NASA NPARC Conditions
 - NASA mesh : 800,000 cells (plot3D type), fine mesh : 2,400,000 cells
 - Spalart-Allmaras turbulence model
 - Characteristic farfield boundary condition



<NASA mesh>

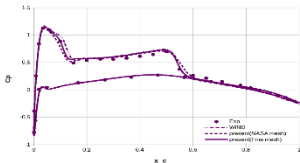
<Fine mesh>

Pressure Based Segregated Solver

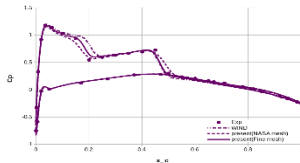
해석자 결과

■ Onera M6 wing

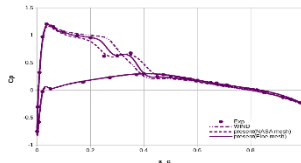
OneraM6_Cp (y/b=0.44)



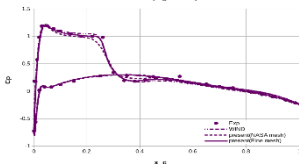
OneraM6_Cp (y/b=0.65)



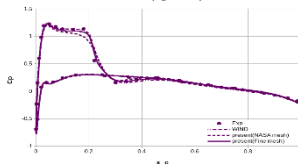
OneraM6_Cp (y/b=0.8)



OneraM6_Cp (y/b=0.9)



OneraM6_Cp (y/b=0.95)

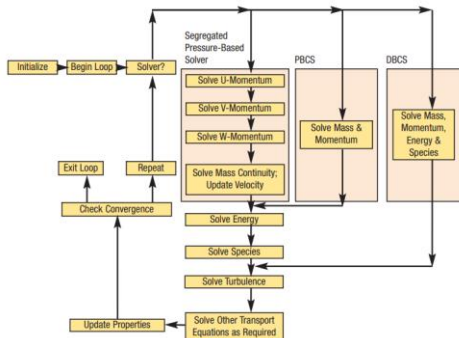


Pressure Based Coupled Solver

• 해석자 개발

▪ pUCoupledNFoam, pUhCoupledNFoam

- Pressure Based Coupled Solver 는 운동량 방정식의 ∇p 항의 압력값과 압력에 관한 식으로 변형된 연속방정식의 $\nabla \phi$ 항의 속도값을 현재의 반복 시점에서 계산되는 값들을 사용하는 방법
- 기존의 segregated solver에 비해 보다 강건하게 계산을 수행할 수 있는 장점이 있으나, 메모리 용량 및 한번의 반복 계산당 요구되는 계산 시간이 증가하는 단점이 존재
- 현재 기존의 압력-속도 coupled solver 이외에 엔탈피 에너지 식과 연속 방정식을 연결한 coupled solver를 수식적으로 도출하여 개발 중



Pressure Based Coupled Solver

• 해석자 개발

▪ pUCoupledN Foam

$$\begin{bmatrix} a_C^{uu} & a_C^{uv} & a_C^{uw} & a_C^{up} \\ a_C^{vu} & a_C^{vv} & a_C^{vw} & a_C^{vp} \\ a_C^{wu} & a_C^{wv} & a_C^{ww} & a_C^{wp} \\ a_C^{pu} & a_C^{pv} & a_C^{pw} & a_C^{pp} \end{bmatrix} \begin{bmatrix} u_C \\ v_C \\ w_C \\ p_C \end{bmatrix} + \sum_{F=\text{NB}(C)} \begin{bmatrix} a_F^{uu} & a_F^{uv} & a_F^{uw} & a_F^{up} \\ a_F^{vu} & a_F^{vv} & a_F^{vw} & a_F^{vp} \\ a_F^{wu} & a_F^{wv} & a_F^{ww} & a_F^{wp} \\ a_F^{pu} & a_F^{pv} & a_F^{pw} & a_F^{pp} \end{bmatrix} \begin{bmatrix} u_F \\ v_F \\ w_F \\ p_F \end{bmatrix} = \begin{bmatrix} b_C^u \\ b_C^v \\ b_C^w \\ b_C^p \end{bmatrix}$$

▪ pUhCoupledN Foam

$$\begin{pmatrix} G & -[\bar{\sigma}] \\ C_c([\hat{u}^*]S[\bar{r}][\bar{k}] + [\bar{\sigma}][\bar{r}][\bar{k}]) & C_c([\bar{Q}^{(m-1)}](-\hat{A}_M \hat{M}) + [\hat{u}^*]S[\bar{r}]) + [\bar{\sigma}][\bar{r}]) \end{pmatrix} \begin{pmatrix} \bar{h}' \\ \bar{p}' \end{pmatrix} \\ = \begin{pmatrix} \bar{g} + [\bar{\sigma}](\bar{p}^{(m-1)} - \bar{p}_0) \\ -[\bar{\sigma}](\bar{Q}^{(m-1)} - \bar{Q}_0) - C_c([\bar{Q}^{(m-1)}]\hat{u}^*) \end{pmatrix}.$$

Pressure Based Coupled Solver

• 해석자 결과

- Unsteady shock tube

Table 1. Initial conditions.

Region	Pressure (psia)	Temperature (R)	Density
1	1.0	416.0	0.125
4	10.0	520.0	1.0

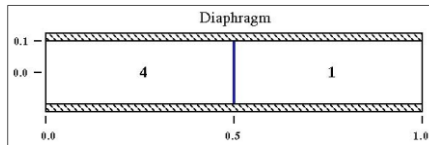


Figure 1. Shock tube at initial state.

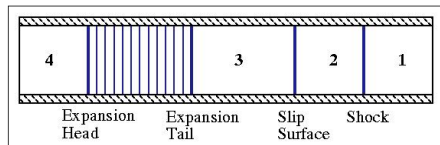


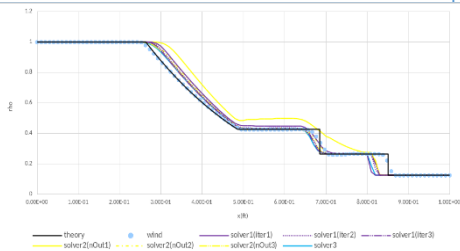
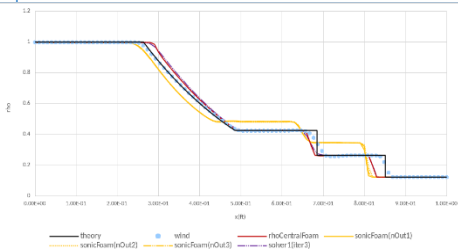
Figure 2. Shock tube shortly after diaphragm has burst.

Pressure Based Coupled Solver

• 해석자 결과

▪ Unsteady shock tube

- Analytic solution and Density based solvers(WIND, rhoCentralFoam)
- Pressure based segregated solvers(sonicFoam, buoyantPCNFoam(solver1)) and coupled solvers(pUCoupledCNFoam(solver2), pUhCoupledCNFoam(solver3))

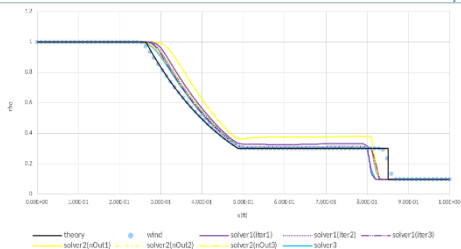
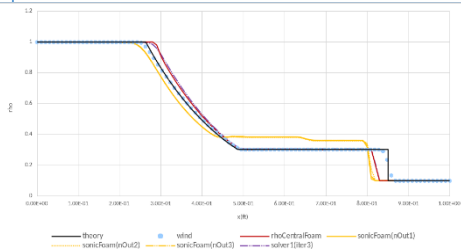


Pressure Based Coupled Solver

해석자 결과

Unsteady shock tube

- Analytic solution and Density based solvers(WIND, rhoCentralFoam)
- Pressure based segregated solvers(sonicFoam, buoyantPCNFoam(solver1)) and coupled solvers(pUCoupledCNFoam(solver2), pUhCoupledCNFoam(solver3))

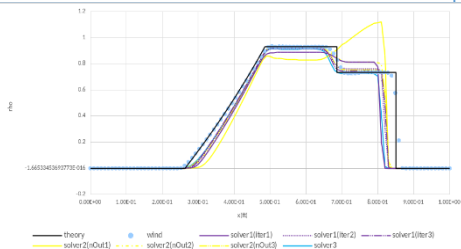
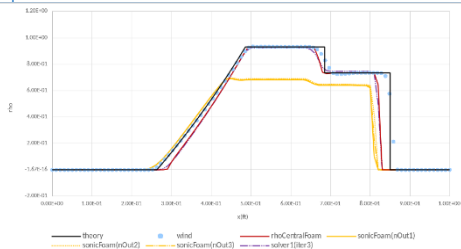


Pressure Based Coupled Solver

• 해석자 결과

■ Unsteady shock tube

- Analytic solution and Density based solvers(WIND, rhoCentralFoam)
- Pressure based segregated solvers(sonicFoam, buoyantPCNFoam(solver1)) and coupled solvers(pUCoupledCNFoam(solver2), pUhCoupledCNFoam(solver3))



결론



감사합니다